

BAĞIL GÜVEN ELİPSLERİ İLE  
(\*)  
DEFORMASYON ANALİZİ

Doç. Dr. Tefvik AYAN

Zusammenfassung

In letzten Jahren haben die Methoden der Deformationsanalyse grosse Fortschritte gemacht. Die erfasste Genauigkeit der elektronischen Messgeräten und die Berechnungsmöglichkeiten in elektronischen Rechenanlagen haben eine strenge Lösung der Probleme ermöglicht.

Hier wird ein anschauliches Verfahren, von vielen Verfahren über Deformationsanalyse in statischen Modell behandelt. Das Verfahren Deformationsanalyse mit Hilfe relativer Konfidenzellipse basiert auf freie Netzausgleichung.

Erstens werden die Festpunkte, die dauernhaft stabil bleiben sollen, überprüft, ob sie sich Lagemässig geändert haben. Die statistisch gesichert stabil erwiesene Festpunkte werden zur Verbindung der Messungen aus der Ersten und zweiten Epoche Verwenden. Die Messungen aus der ersten und zweiten Epoche werden gemeinsam zu einer freien Ausgleichung einbezogen. Bei der Ausgleichung setzt sich das Koordinatenunbekanntenvektor, aus der beiden Epochen gemeinsamen Festpunkt koordinaten  $\underline{x}_F$ , und Objektpunkt koordinaten  $\underline{x}_1$  zur Epoche  $t_1$  und  $\underline{x}_2$  zur Epoche  $t_2$  zusammen.

Als Ergebnis der Ausgleichung erhält man  $\underline{x}_F$ ,  $\underline{x}_1$ ,  $\underline{x}_2$  und  $\sigma_0$ . Die Verschiebungsvektoren und deren Kovarianzmatrix werden als Differenzen von  $\underline{x}_2$  und  $\underline{x}_1$  und von  $Q_{xx}$  ermittelt. Die relative Konfidenzellipse der Verschiebungsvektoren werden berechnet und auf den Punkt  $P_i(t_2)$  gezeichnet. Fällt der Punkt  $P_i(t_1)$  nicht in die Ellipse, So wird das Verschiebungsvektor singnifikant von null betrachtet.

---

(\*): Yazarın 12. Kasım.1981 de doçentlik sınavı deneme dersinden özetlenmiştir.

## 1- Giriş

Mühendislik yapılarında olası deformasyonları saptayarak, büyük zararlarla yol açılmadan önlem alabilmek için yapı üzerinde ve çevresinde belirli zaman aralıklarında jeodezik ölçmeler yapılır. Bu ölçmelerin, küçük boyutlardaki deformasyonların meydana çıkarılmasını sağlayabilmesi için yüksek presizyonda yapılması gerekir. Bunu sağlamak için de daha yapının inşaatı sırasında yapı üzerinde pilyeler, ölçme markaları v.b. gerekli ölçme düzenleri göz önünde tutulur. Gerek yapının karakteristik yerlerinde gerekse yapı dışında zamanla yer değiştirmeyeceği tasarlanan noktalarla bir jeodezik ağ oluşturulur. Kontrol ağı adını alan bu ağ noktalarının rölatif hareketlerinin saptanması yoluna gidilir. Deformasyon adı verilen bu rölatif hareketlerin saptanması, ölçüler ile bunların arasındaki geometrik ilişkilerin analizi ve matematik istatistik test yöntemleriyle gerçekleştirilir.

Deformasyon analizi dinamik, kinematik ve statik olmak üzere üç ayrı modelde ele alınabilir. Bunlardan dinamik model yapıya etkiyen kuvvetlerle, yapı karakteristiklerinin birbirleriyle ve zamanla ilişkileri ve deformasyona neden olan dönüşüm fonksiyonunun araştırılmasına dayanır. Kinematik modelde ise inceleme konusu ağ noktalarının birbirlerine göre hareket ve hız ilişkileridir. Statik modelde ise ağın ölçmeler süresinde stabil kaldığı varsayılır ve ölçme periyotları arasındaki zamanda ne yapıya etkiyen kuvvetler ne de nokta hareketleriyle ilgilenmeksizin, iki yineleme ölçmesi zamanındaki nokta konumları araştırılır (Welsch 1981). Aşağıda açıklanacak olan bağıl güven elipsleri ile deformasyon analizi yöntemi statik modele tipik bir örnektir.

Bağıl güven elipsleri ile deformasyon analizi yöntemine geçmeden önce tüm deformasyon analizi yöntemlerinde kullanılan serbest ağ dengelemesinin burada kısaca açıklanmasında yarar vardır.

## 2- Serbest Ağ Dengelemesi

Ağ dengelemesinin temel bağıntılarından, fonksiyonel model

$$l+v = A x$$

2.1

ve stokastik model

$$\underline{K}_\ell = \sigma_o^2 \underline{Q}_\ell \quad 2.2$$

şeklinde yazılmaktadır ; burada  $\ell$  bir  $t_i$  zamanındaki ölçüler vektörünü,  $\underline{v}$  bunun düzeltmeler vektörünü,  $\underline{A}$  düzeltme denklemleri katsayılar matrisini,  $\underline{x}$  bilinmeyenler vektörünü,  $\underline{K}_\ell$  ölçülerin kovaryans matrisini,  $\sigma_o$  teorik standart sapmayı  $\underline{Q}_\ell$  ölçülerin kofaktörler matrisini göstermektedir. Fonksiyonel model ile stokastik model arasındaki ilişki

$$\underline{A}' \underline{Q}_\ell^{-1} \underline{A} \underline{x} = \underline{A}' \underline{Q}_\ell^{-1} \underline{\ell} \quad 2.3$$

kısa gösterimi ile

$$\underline{N} \underline{x} = \underline{n} \quad 2.4$$

normal denklemleri ile verilmektedir.

Deformasyon analizinde hipotezlerden mümkün olduğu kadar sakınmak ilkesine uygun olarak ağın dengelenmesi aşamasında, ağda sabit nokta varsayımı yapılmaz, yani bütün ağ noktaları değişken olarak alınır, yani tüm ağ noktaları için koordinat bilinmiyeni seçilirse, ağın konumlandırılması mümkün olmaz, diğer bir deyişle (ağda kenar ölçüleri varsa ölçek dışında) dış parametreler belirsizdir. Bu durumun cebirsel olarak açıklanması ise  $\underline{N}$  matrisinin tekil olduğu, bu nedenle de 2.4 denkleminin sonsuz sayıda çözümü olduğu şeklindedir.  $\underline{x}$  bilinmeyenlerine tek anlamlı bir çözüm bulmak üzere Moore-Penrose invers  $\underline{N}^+$  (Krüger, J. 1980) kullanılarak

$$\underline{x} = \underline{N}^+ \underline{n} \quad 2.5$$

elde edilir. Böylece bulunan  $\underline{x}$  vektörü tüm çözümler içinde normu en küçük olanıdır,

$$\underline{x}' \underline{x} = \min. \quad 2.6$$

ve  $\underline{x}$  in kofaktörler matrisi  $\underline{Q}_{xx} = \underline{N}^+$  nın izi, diğer tüm çözümlere ait kofaktörler matrislerinin izlerinden küçüktür.

$$t_r(Q_{xx}) = \min$$

2.7

Moore-Penrose inversin hesabı için  $\underline{N}$  normal denklemler katsayılar matrisinin spektral ayrışımı ile,  $\underline{D}$ ,  $\underline{N}$  in spektral matrisi yani  $\underline{N}$  in sıfırdan büyük özdeğerlerinden oluşan bir köşegen matris

$$\underline{D} = \begin{bmatrix} \lambda_1 & & & \\ & \lambda_2 & & \\ & & \ddots & \\ & & & \lambda_r \end{bmatrix}$$

2.8

ve  $\underline{S}$ ,  $\underline{N}$  in sıfırdan büyük özdeğerlerine karşılık özvektörleri  $\underline{S}_1, \underline{S}_2, \dots, \underline{S}_r$  den oluşan modal matris

$$\underline{S} = \begin{bmatrix} \underline{S}_1 & \vdots & \underline{S}_2 & \vdots & \cdots & \vdots & \underline{S}_r \end{bmatrix}$$

2.9

ve  $\underline{N}$  in sıfıra eşit özdeğerlerine karşılık modal matrisi

$$\underline{G} = \begin{bmatrix} \underline{g}_1 & \vdots & \underline{g}_2 & \vdots & \cdots & \vdots & \underline{g}_{u-r} \end{bmatrix}$$

2.10

göstermek üzere

$$\underline{N} = \begin{bmatrix} \underline{S} & \vdots & \underline{G} \end{bmatrix} \begin{bmatrix} \underline{D} & \vdots & \underline{0} \\ \vdots & \ddots & \vdots \\ \underline{0} & \vdots & \underline{0} \end{bmatrix} \begin{bmatrix} \underline{S}' \\ \vdots \\ \underline{G}' \end{bmatrix}$$

2.11

$$\underline{N} = \underline{S} \underline{D} \underline{S}'$$

yazılarak, Moore-Penrose invers

$$\underline{N}^+ = \underline{S} \underline{D}^{-1} \underline{S}'$$

2.12

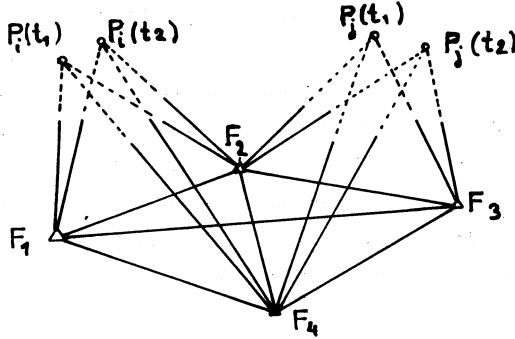
ile hesaplanır (Krüger 1980).

### 3- Yöntemin Tanımı

Kontrol ağı  $t_1$  zamanında yapılan  $\ell_1$  ölçüleri ile  $t_2$  zamanında yapılan  $\ell_2$  ölçüleri iki ayrı ağ ölçüleriymiş gibi düşünülerek, ağ ayrı ayrı serbest dengelense, iki dengelemede aynı yaklaşık koordinatlar kullanılsa bile iki ağ datumu birbirinin aynı değildir. Bu nedenle de doğrudan doğruya birbirleri ile karşılaştırılamazlar. Karşılaştırma yapabilmek için datum birliğini sağlayacak ortak noktalar aranır.

Kontrol ağının kurulması sırasında sabit nokta olarak seçilen noktalara istatistik testler uygulayarak,  $t_2-t_1$  zaman aralığında yerleri değişmeyenler saptanacak olursa, bu noktalardan datum birliğini sağlamak için yararlanılabilir. Ağın kurulması sırasında sabit nokta olarak tasarlanan, ancak istatistik testler sonucu yerlerinin değiştiği saptanan sabit noktalara artık deformasyon noktaları gözü ile bakılır.

Sabit noktaların testinden sonra,  $\ell_1$  ve  $\ell_2$  ölçüleri birlikte ele alınarak, kontrol ağı, serbest ağ dengelmesi ile 2. bölümde açıklandığı gibi dengelenir. Tüm dengeleme adı verilen bu hesapta, Şekil 1 den de görüldüğü gibi,



Şekil 1: Bir kontrol ağı örneği ( $P_i(t_1)$  ve  $P_i(t_2)$  noktaları özdeş noktalardır.)

deformasyon noktalarının  $t_1$  zamanındaki konumu için birer çift,  $t_2$  zamanındaki konumu için birer çift ve sabit noktalar için yalnız birer çift koordinat bilinmiyeni seçilir. Bu şekilde yürütülen tüm dengeleme sonucunda, deformasyonlar saptamak üzere deformasyon noktalarında teker teker deformasyon vektörleri ve onların presizyonları ile incelenir(Heck, ve diğerleri 1977)

#### 4- Sabit Noktaların Test Edilmesi

Kontrol ağının  $l_1$  ve  $l_2$  ölçüleriyle ayrı ayrı iki kez serbest dengelenmesinden nokta koordinatları

$$x'_1 = \begin{bmatrix} x'_{1F} \\ \vdots \\ x'_1 \end{bmatrix} \quad 4.1$$

$$x'_2 = \begin{bmatrix} x'_{2F} \\ \vdots \\ x'_2 \end{bmatrix} \quad 4.2$$

olarak elde edildikten sonra, sabit nokta koordinatları  $x_{1F}$  ile  $x_{2F}$  karşılaştırmak üzere, ağın datum ayrılığını gidermek üzere, bu  $t_2$  zamanı koordinatları  $x_{2F}$  in  $x_{1F}$  üzerine Helmert transformasyonu yapılır. Bir  $F_i$  noktası için yazılacak düzeltme denklemleri

$$V_{x_{1i}} = K_{01} + K_{11} x_{2i} - K_{12} Y_{2i} - x_{1i} \quad 4.3$$

$$V_{y_{1i}} = K_{02} + K_{12} x_{2i} - K_{11} Y_{2i} - y_{1i} \quad 4.4$$

olur. Transformasyondan elde edilecek  $V_x$ ,  $V_y$  çakışma hataları, noktaların ortalama konum hataları ile karşılaştırılarak yerleri değişen sabit noktaların saptanması yoluna gidilir. Karşılaştırma için istatistik teorisinin tam olarak uygulanmasına pek gerek yoktur. Çünkü basit karşılaştırma sonucu yerleri değiştiğine karar verilen noktalar sonradan deformasyon noktası olarak yeniden inceleneceklerdir. Bu nedenle de karşılaştırma sırasında yerleri değişip değişmediğinden kuşku duyulan sabit noktaları yerleri değişmiş saymak daha uygun olur. Ayrıca varsa yerleri değişen noktalar tüm  $V_x$ ,  $V_y$  leri etkiliyeceklerinden yerlerinin değiştiğine karar verilen noktalar ayrı ayrı transformasyon yeniden yapılmalı ve ne duruma geldikleri yeniden görülmelidir.

Kontrol ağında yerleri değişmeyen sabit noktalar böylece saptandıktan sonra daha önce açıklanan tüm dengelemeye geçilir.

#### 5- Deformasyonların Lokalize Edilmesi

Tüm dengelemenin ölçüler, bilinmeyenler vektörü ile bilinmeyenlerin kofaktörler matrisini

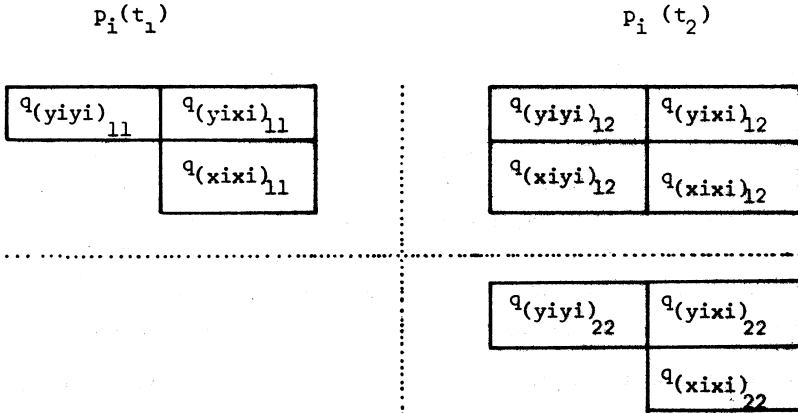
$$\underline{l} = \begin{bmatrix} l_1 \\ \dots \\ l_2 \end{bmatrix} ; \underline{x} = \begin{bmatrix} x_F \\ x_1 \\ x_2 \end{bmatrix} ; \underline{Q}_{xx} = (\underline{A}' \underline{P} \underline{A})^+ = \begin{bmatrix} Q_{FF} & Q_{F1} & Q_{F2} \\ Q_{1F} & Q_{11} & Q_{12} \\ Q_{2F} & Q_{21} & Q_{22} \end{bmatrix} \quad 5.1$$

şeklinde alt matrislerle gösterelim.

Bir deformasyon noktası  $P_i$  nin  $t_1$  ve  $t_2$  zamanlarındaki konumları arasındaki fark yani bu noktanın deformasyon vektörü

$$\underline{d}_i = \begin{bmatrix} d_{yi} \\ d_{xi} \end{bmatrix} = \begin{bmatrix} Y_{2i} - Y_{1i} \\ X_{2i} - X_{1i} \end{bmatrix} ; \underline{Q}_{di} = \begin{bmatrix} Q_{yyd} & Q_{yxd} \\ Q_{xyd} & Q_{xxd} \end{bmatrix} \quad 5.2$$

ve bunun kofaktörler matrisi tüm kofaktörler matrisinden



$$\begin{aligned} q_{yyd} &= q(yiyi)_{11} + q(yiyi)_{22} - 2 q(yiyi)_{12} \\ q_{xxd} &= q(xixi)_{11} + q(xixi)_{22} - 2 q(xixi)_{12} \\ q_{yxd} &= q_{xyd} = q(yiyi)_{11} + q(xixi)_{22} - q(yixi)_{12} - q(xiyi)_{12} \end{aligned} \quad 5.3$$

olur.  $p_i$  noktası için uygulanacak istatistik test için sıfır hipotezi

$$H_0 : \underline{d}_i = \underline{0} \quad 5.4$$

alınarak, test büyüklüğü olarak yine  $\underline{d}_i$  vektörünün karesel şeklinden

$$T = \frac{\underline{d}_i' Q_{di}^{-1} \underline{d}_i}{2 \cdot \sigma_0^2} \quad 5.5$$

seçilir. T, F tablosundan alınacak  $F_{\alpha,2,f}$  değeri ile karşılaştırılır

$$T \leq F_{\alpha,2,f} \quad f = n - u + d_i \quad 5.6$$

Bu karşılaştırma nümerik olarak yapılmazdan önce  $\underline{d}_i$  nin varyans-kovaryans matrisi inverzi,

$$K_{-di}^{-1} = \frac{Q_{di}^{-1}}{\sigma_0^2}$$

5.6 da yerine konarak eşitsizliğin sınır değeri olarak, eşitlik olarak yazılırsa

$$\underline{d}_i' K_{-di}^{-1} \underline{d}_i = 2 \cdot F_{\alpha,2,f} \quad 5.7$$

elde edilir. Bu eşitlik ise bir elips denklemini göstermektedir (Pelzer 1980<sub>b</sub>, S.284). Açık yazılarak vektör, matris, vektör çarpımları yapılarak, elipsin merkezli denkleminin geçilirse, 5.7 nin dengelemeden bilinen bağıl ortalama hata elipsine benzediği, yalnızca eksen uzunluklarının  $k = \sqrt{2 \cdot F_{\alpha,2,f}}$  kadar büyük olduğu görülür.  $S = 1 - \alpha$  istatistik güvenle  $\underline{d}_i$  nin güven alanını belirleyen bu elips dengeleme de bağıl güven elipsi olarak anılmaktadır.

Şu halde tüm dengeleme sırasında bağıl ortalama hata elipsinin eksenleri hesaplanarak, eksenleri k ile çarpılırsa,  $\underline{d}_i$  vektörleri bu elipslerin yardımıyla incelenebilir.



Bağıl ortalama hata elipsinin eksenleri

$$A_H^2 = \sigma_o^2 (q_{yyd} + q_{xxd} + w)$$

$$B_H^2 = \sigma_o^2 (q_{yyd} + q_{xxd} - w)$$

$$w^2 = (q_{xxd} - q_{yyd})^2 - 4 q_{yxd}^2$$

ve büyük eksenin açıklık açısı

$$\theta = \frac{1}{2} \arctan \frac{2 q_{yxd}}{q_{xxd} - q_{yyd}}$$

ile hesaplanmalıdır(Wolf 1975).

Pratikte bu testin geometrik yorumu uygulanır. Bunun için ağın çizimi üzerine deformasyon vektörü ve bağıl güven elipsi aynı ölçekle elips vektörü ucunda yani  $p_{i(t_2)}$  noktasında çizilir.  $p_{i(t_1)}$  noktası elipsin dışında kalıyorsa  $p_i$  yer değiştirmiş sayılır ve  $d_i$  deformasyon vektörü significantır denir.

$p_{i(t_1)}$  elipsin içinde kalıyorsa,  $d_i$  deformasyon vektörü değildir sıfır hipotezi geçerlidir.

#### 6- Yorum

Deformasyon noktalarında, deformasyonların saptanmasından sonra bunların nedenlerini açıklamaya yarayacak biçimde genelleştirilmesi, matematiksel bir fonksiyonla, örneğin bir polinomla açıklanması yoluna gidilir. Bu sırada deformasyon vektörü  $d$  nin  $x$  ve  $y$  bileşenleri  $dx$  ve  $dy$  ayrı ayrı ele alınır. Polinomun derecesi, üzerinde deformasyon saptanan nokta sayısına bağlıdır.  $dx$  bileşeni için

$$x_2 - x_1 = dx(x,y) = b_{00} + b_{01}x + b_{02}y + b_{11}x^2 + b_{22}y^2 + b_{12}xy + \dots$$

yazılarak,  $b_{ij}$  katsayılarının sayısı  $u$ , deformasyon noktası sayısı  $n$  den küçük olmak üzere en küçük kareler yöntemiyle  $b_{ij}$  katsayıları saptanabilir.

Bir deformasyon analizinden elde edilecek sonuçların tutarlılığı, uygulanan yöntemin içerdiği varsayımlara dayanır. Kaçınılmaz varsayımlar ise kesinlikle test edilmelidir. Bu yazı içinde yer almayan bu türdeki testler

a) dengelemenin fonksiyonel modelinin test edilmesi, b) dengelemenin stokastik modelinin test edilmesi, c) kaba hatalı ölçülerin ayıklanması olarak sayılabilir (Ayan 1983).

Deformasyonların saptanması için açıklanan bağıl güven elipsleri yöntemi deformasyon vektörlerinin kovaryans matrislerini doğrudan doğruya inceleme konusu olan, pek çok yerde başarı ile uygulanmış kısa ve gösterimi güzel bir yöntemdir.

## KAYNAKLAR

- Ayan, T. (1983) : Jeodezik ağlarla Deformasyon Analizine Genel Bakış  
İ.T.Ü. Dergisi (baskıda)
- Heek, B., Kuntz, E.  
Meier-Hirmer, B. (1977) : Deformationsanalyse mittels relativer Fehler -  
ellipsen  
AVN 3/1977 s. 78-87
- Krüger, J. (1980) : Matrizenalgebra  
in Geodätische Netze in Landes- und Ingenieur-  
vermessung  
Konrad Witter Verlag Stuttgart 1980
- Pelzer, H. (1980)<sub>a</sub> : Fehlerlehre und Statistik, in  
Geodätische Netze in Landes- und Ingenieur-  
vermessung  
Konrad Witter Verlag Stuttgart 1980
- Pelzer, H. (1980)<sub>b</sub> : Beurteilung der Genauigkeit und Zuverlässigkeit  
geodätischer Netze in  
Geodätische Netze in Landes- und Ingenieur-  
vermessung  
Konrad Wittwer Verlag Stuttgart 1980
- Welsch, W. (1981) : Gegenwärtigen stand der geodätischen Analyse und  
Interpretation geometrischen Deformationen  
AVN 2 /1981 S. 45-51
- Wolf, H. (1975) : Ausgleichsrechnung  
Formeln zur Praktischen Anwendung  
Dümmler Verlag Bonn 1975